

## (1-x)ZrO<sub>2</sub>-xMgO 계의 미세입자 원료분말의 제조

안영필 · 김복희 · 성상현 · 정복환 · 이응상

한양대학교 무기재료공학과

\*산성코닝연구소

(1985년 7월 4일 접수)

## Fine Powder Preparation in the System of (1-x)ZrO<sub>2</sub>-xMgO

Young-Pil Ahn, Bok-Hee Kim, Sang-Hyun Seong, Bok-Hwan Chung\* and Eung-Sang Lee

Dept. of Inorganic Material Eng., Han Yang Univ.

\*Sam Sung Corning Co., Ltd. Research Center.

(Received 4 July, 1985)

### ABSTRACT

This study was to make powder by coprecipitation method and spray dispersion precipitation method in (1-x)ZrO<sub>2</sub>-xMgO system to improve sinterability.

As the result, the specific surface area of powder prepared by spray dispersion precipitation method and coprecipitation method was above 110m<sup>2</sup>/g and 10-20m<sup>2</sup>/g respectively.

Spray dispersion precipitation method was more effective than coprecipitation method in powder preparation.

### 1. 서 론

일반적으로 소결체의 특성을 향상시키기 위해서는 치밀하고 균질한 미세구조가 요구되며, 이를 실현하기 위해 여러가지 소결방법이 개발되었다<sup>1~4)</sup>. 그러나, 이러한 소결방법의 개선만으로 소결체의 특성을 향상시키는데는 그 한계가 있어 소결의 이전단계에서 원료분말을 채어하지 않으면 안된다.

원료분만의 제조방법으로써는 열분해법, 중화공침법, 습식합성법, 동결건조법, sol-gel법 등이 알려져 있고<sup>5~10)</sup> 미세하고 응집되지 않은 상태의 분말을 제조함으로써 소결온도의 저하 및 소결체특성의 향상을 폐할 수 있다.

본 연구에서는 PSZ나 FSZ의 분말제조방법으로써 중화공침법과 그와는 반대의 과정을 거치는 분산에 의한 공침법을 이용하여 원료분말을 제조하고 얻어진 분말들의 특성을 비교, 분석하여 원료분말의 제조방법을 확립하고자 하였다.

### 2. 실험방법

#### 2. 1 원료

본 실험에서는 출발원료로 日本 Junsei chemical 사의 시약 ZrOCl<sub>2</sub>·8H<sub>2</sub>O 와 東京化成工業의 시약 Mg (NO<sub>3</sub>)<sub>2</sub>·6H<sub>2</sub>O를 사용하였으며 Shinyo pure chemical 사의 NH<sub>4</sub>OH 용액을 사용 침전물을 얻었다.

#### 2. 2 분말제조

(1-x)ZrO<sub>2</sub>-xMgO 계에서 x=0.0, 0.1, 0.3, 0.5에 대한 혼합수용액을 만들고

첫째로, Fig. 1과 같이 이 혼합수용액에 1.5N-NH<sub>4</sub>OH 용액을 적하시켜 침전물을 얻는 중화공침법을 사용하였다. 이때 침전수용액의 온도는 40°C로 일정하게 유지시켜주었고 NH<sub>4</sub>OH 용액은 buret을 이용, 5mL/h의 속도로 적하시키며 수용액을 계속 교반시켰다. 또 원진한 침전이 이루어졌나를 확인하기 위해 후에 침전수용액에 강한 NH<sub>4</sub>OH 용액을 과량 주입하였다.

두번쩨로 Fig. 2와 같이 5N-NH<sub>4</sub>OH 용액에 혼합수용액을 분부시켜 침전물을 얻는 분부에 의한 공침법을

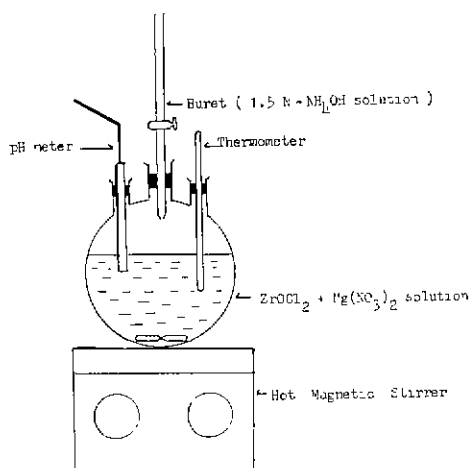


Fig. 1. Coprecipitative preparation of  $(1-x)\text{ZrO}_2 - x\text{MgO}$  System.

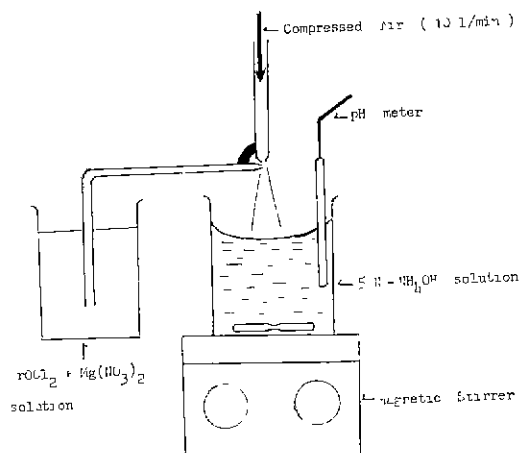


Fig. 2. Pneumatic spray preparation of  $(1-x)\text{ZrO}_2 - x\text{MgO}$  system.

사용하였다. 이때 혼합수용액은 직경 0.5mm의 nozzle를 통해 10l/min.의 압축공기로 분무시켰으며 침전수용액은 계속 교반시켰다.

이 두방법에 의해 얻어진 각각의 침전물은 여과시킨 뒤 충분히 세척하여 전공진조시켜 분말을 얻었다.

### 2.3 시차 열분석

두방법에 의해 얻어진 각각의 시료를 Rigaku 사 8112 H 시차 열분석기\*를 사용하여 10°C/min의 승온속도로 시차 열분석하였다.

### 2.4 X-선 회절분석

시차 열분석한 결과에 근거하여 각각의 시료들을 800°C에서 1시간 열처리하여 Rigaku 사 D/MAX 회

절분석기\*\*를 사용하여 CuK $\alpha$ , 30kV, 20mA의 조건으로 X-선 회절분석을 하였다.

### 2.5 미세구조관찰

각 방법에 의해 얻어진 여러 조성 분말의 입자상태를 비교하기 위해 열처리를 하지 않은 시료분말은 300°C에서 1시간 열처리한 시료분말에 대해 日本 Akashi 사 DS-130형 SEM\*\*\*으로 관찰하였다.

\*시차 열분석기 : Model 8112H, Rigaku Ltd., Tokyo, Japan.

\*\*회절 분석기 : Model D/MAX 2028, Rigaku Ltd., Tokyo, Japan.

\*\*\*SEM : Model DS-130, Akashi Ltd., Tokyo, Japan.

### 2.6 입경 및 비표면적 측정

각 방법에 의해 얻어진 시료분말의 입경을 측정하고자 Micromeritics 사 5000ET형 Sedigraph로 입경을 측정하였고 비표면적을 측정하고자 Micromeritics 사 Autosorb 2100형 BET로 비표면적 측정을 하였다.

## 3. 결과 및 고찰

### 3.1 침전방법에 따른 분말상태 관찰

현재까지 이용되고 있는 여러 분말제조방법들에서 본 실험에서는 중화공침법과 분무에 의한 공침법을 이용하였다. 위 두방법은 분말제조과정이 서로 반대가 되는 것으로 중화공침법은 시료용액에 NH<sub>4</sub>OH 용액을 적으시키는 방법으로 두 용액이 접촉한 부분에서만 반응이 일어나 침전이 이루어지므로 반응면이 적을것이며 두 용액이 접촉하는 부분에서 순간적으로 agglomeration 현상이 발생할 것이라 예상된다. 그러나 분무에 의한 공침법은 NH<sub>4</sub>OH 용액에 미립화된 시료용액을 분무시켜주는 방법으로 미세한 입자가 얻어질 것이며 시료와의 접촉면적이 중화공침법에서보다 훨씬 넓어 반응면이 크므로 반응이 빠르기 때문에 agglomeration이 적을 것이라 생각되며 실제로 이 분무에 의한 공침법으로 시료를 제조하는 것이 훨씬 빠르고 용이했다. 그래서 본 실험에서는 위의 두가지 경반대의 과정을 통해 분말을 제조하여 제조방법의 차이에 따른 분말의 차이를 비교, 분석하였다.

### 3.2 pH에 따른 침전량 변화<sup>11)</sup>

pH 변화에 따른 침전량의 변화관계를 알아보기 위해  $(1-x)\text{ZrO}_2 - x\text{MgO}$  체에서  $x=0.5$ 인 경우에 대해 소량의 용액을 채취하여 NH<sub>4</sub>OH 용액을 적으시켜 pH를 변화시키고 각 pH에서 얻어진 시료양과 pH와의 관계에 대한 그림을 Fig. 3에 나타내었다. 이 그림에서 보면 pH 4 부근에서 침진이 시작되어 pH 8 부근까지 일정하게 유지되다가 pH 8 부근에서부터 또 증가하기 시

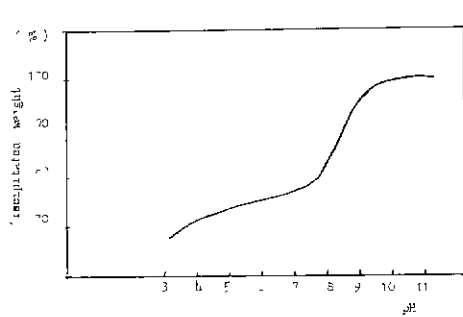


Fig. 3. The change of precipitated weight with pH variable.

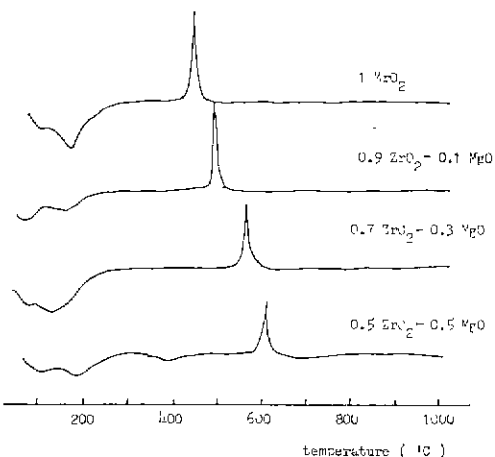


Fig. 4. DTA curves of samples with coprecipitative preparation in  $(1-x)$  ZrO<sub>2</sub>-xMgO system.

작하여 pH 10 부근에서 완결되었다. 이같은 현상은 ZrOCl<sub>2</sub>수용액 만의 경우에는 pH 4에서 완전히 ZrO(OH)<sub>2</sub>의 침전이 완결되므로 먼저 ZrO(OH)<sub>2</sub>가 pH 4까지 침전이 완료되고 pH 8 부근에서부터는 Mg(OH)<sub>2</sub>의 침전이 이루어지기 시작하여 pH 10 부근에서 완결되었다. 본래 Mg(OH)<sub>2</sub>의 침전은 pH 12에서부터 시작되나 ZrO(OH)<sub>2</sub>와의 공존으로 좀더 낮은 pH에서 침전이 시작되어 완료되는 것으로 생각된다.

### 3.3 고찰 및 비교

중화공침법에 의해 얻어진 시료분말의 시차 열분석 곡선을 Fig. 4에 문부에 의한 공침법으로 얻어진 시료분말의 시차 열분석 곡선을 Fig. 5에 나타내었다. 그결과, 모두 90°C와 150°C 부근에서 1, 2차 흡열 peak 가, 400~800°C에서 강한 발열 peak 가 나타남을 볼수 있는데 1차 흡열 peak 는 흡착수가 방출되는 반응이고

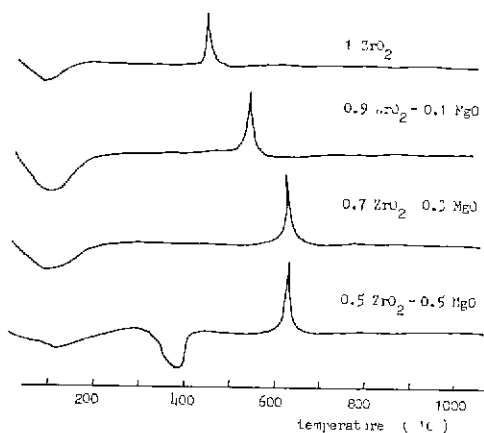


Fig. 5. DTA curves of samples with pneumatic spray preparation in  $(1-x)$  ZrO<sub>2</sub>-xMgO system.

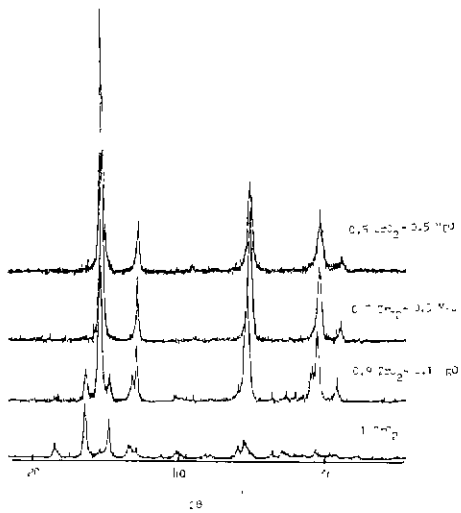


Fig. 6. X-ray diffraction patterns of samples with coprecipitative preparation in  $(1-x)$  ZrO<sub>2</sub>-xMgO system.

2차 흡열 peak 는 ZrO(OH)<sub>2</sub>의 분해반응이며 강한 발열 peak 는 시료의 결정화온도라고 생각된다. 또,  $x=0.5$ 일 때 400°C 부근에서 나타나는 흡열 peak 는 Mg(OH)<sub>2</sub>의 분해반응이라 여겨지는데  $x=0.5$ 미만에서 겹쳐지지 않는것은 포함된 MgO의 양이 적기 때문이라 생각된다. 이 시차 열분석으로부터 안정화제인 MgO의 양이 증가될수록 결정화온도가 높아짐을 알수있었다. 시차 열분석에 의해 얻어진 결과에 따라 800°C에서

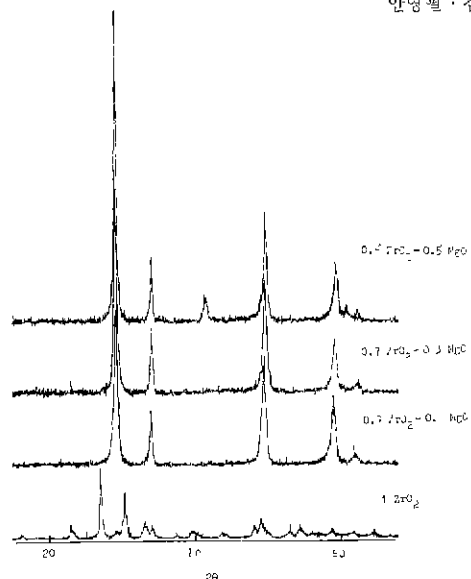


Fig. 7. X-ray diffraction patterns of samples with pneumatic spray preparation in  $(1-x)\text{ZrO}_2-x\text{MgO}$  system.

열처리한 각각의 시료에 대한 X-선 회절분석 결과를 Fig. 6, Fig. 7에 나타내었다.

여기에서 Fig. 6은 중화공침법에 의한 시료분말의 X-선 회절분석 표이고 Fig. 7은 분무에 의한 공침법에 의한 시료분말의 X-선 회절분석 결과이다. 이 결과 제조방법의 차에 따른 빛나는 차이점은 볼수있었고  $x=0.1$  이상인 경우에 있어서 X-선 peak는 모두 cubic상의 peak를 보임으로써 MgO를 소량첨가했을 때도 Zirconia는 암정화가 이루어졌음을 알 수 있었다. 또 X-선 회절분석의 intensity를 비교한 결과 분무에 의한 공침법을 이용한 시료분말의 결정상태가 중화공침법에 의한 시료분말보다 발달했음을 볼수 있었다.

또 니세구조 관찰을 위해  $x=0$ 과 0.5인때에 열처리하지않은 시료분말의 SEM 사진을 각각 Fig. 8, Fig. 9에 나타내었고 300°C에서 1시간 열처리한 시료분말의 SEM 사진을 Fig. 10에 나타내었다. 여기에서 ZO는 중화공침법에 의한 순수한  $\text{ZrO}_2$  분말에 대한 것을, SO는 분무에 의한 공침법을 이용한 순수한  $\text{ZrO}_2$  분말에 대한 SEM 사진이며 Z6, S6은 각각  $x=0.5$ 일때 중화공침법(Z6)과 분무에 의한 공침법(S6)에 대한 사진이다. 이 결과 분말제조방법에 따른 분말에 대한 명확한 구분은 할수없었지만 중화공침법에 의한 분말쪽에서 분무에 의한 공침법을 이용한 분말쪽보다 agglomeration 현상이 더 크지않은가 여겨진다.

각 방법에 의해 얻어진 시료분말에 대해 측정된 비

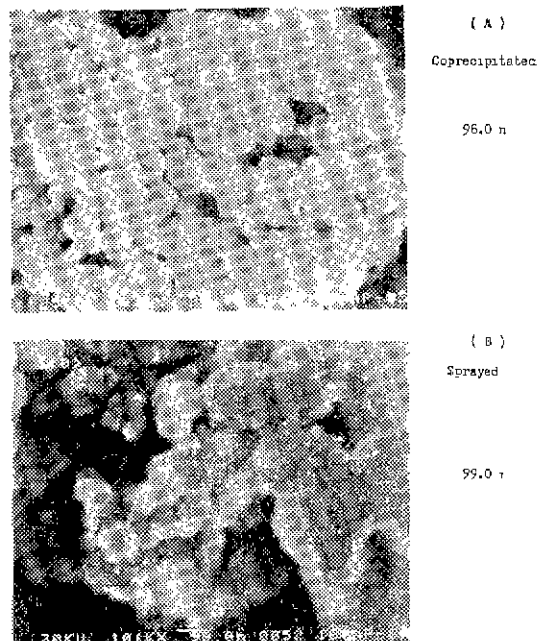


Fig. 8. SEM photos of  $\text{ZrO}_2$  powders

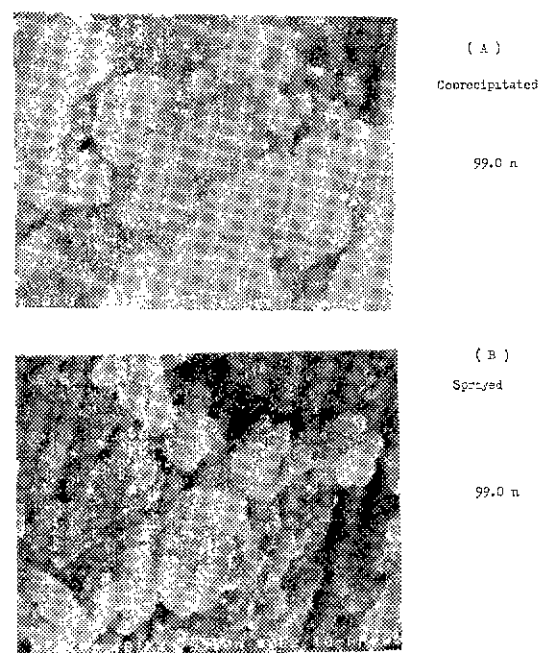
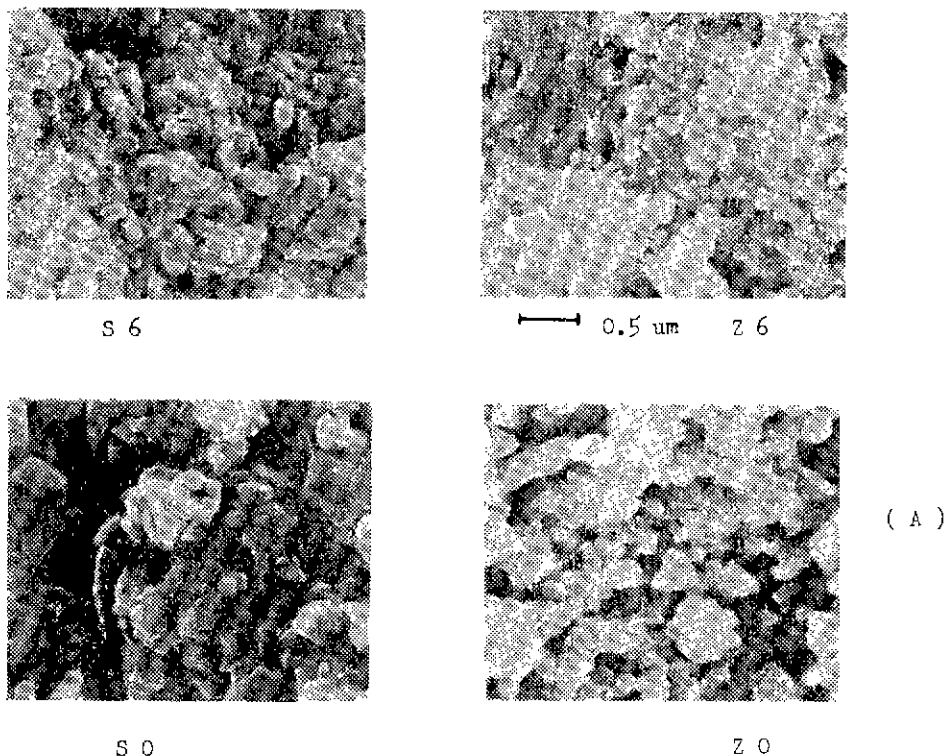


Fig. 9. SEM photos of  $0.5\text{ZrO}_2-0.5\text{MgO}$  powders

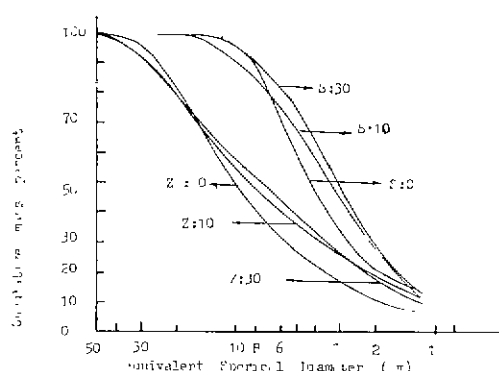
Fig. 10. SEM photos of (1-x)ZrO<sub>2</sub>-xMgO system

**Table 1.** BET Results of (1-x)ZrO<sub>2</sub>-xMgO System  
at 300°C Heating  
Surface Area (m<sup>2</sup>/g)

	Co-precipitate	Spraying
1ZrO <sub>2</sub>	10.991	149.341
0.9ZrO <sub>2</sub> -0.1MgO	18.430	134.179
0.7ZrO <sub>2</sub> -0.3MgO	20.685	111.124

표면적 값을 Table 1에 나타내었고 입경분포를 Fig. 11에 나타내었다. 그 결과 분무에 의한 공침법으로 만들어진 시료분말의 비표면적이 중화공침법에 의한 시료분말에서보다 10배 이상 크다는 것을 알 수 있었고 입자분말의 입경분포도 놈위가 좁았으며 평균입경은 분무에 의한 방법이 4~2.5 μm로 중화공침법에 의한 방법의 10~8 μm 보다 작다는 것을 알 수 있었다.

이상의 관찰로부터 MgO의 양이 증가될수록 결정화



**Fig. 11.** Particle size distribution of samples  
Z : Coprecipitation method (# : MgO %)  
S : Spray dispersion precipitation method  
( #: MgO %)

온도는 증가하여 분무에 의한 공침법을 이용한 시료분

말의 결정상태가 텔달했음을 알수 있었고 agglomeration 도 적으며 비표면적이 크며 또한 시료분말의 평균입자가 작음을 알수 있었다.

#### 4. 결 론

이상의 실험으로부터 다음과 같은 결론을 얻을수 있었다.

- 1) MgO의 양이 증가함에 따라 결정화 온도는 높아진다.
- 2) MgO의 10-mole% 첨가에서부터 안정화 Zirconia 가 되었다.
- 3) 증화공침법보다 분무에 의한 공침법에서 큰 비표면적을 보였고 입경분포가 좁고 평균입경이 작으므로 원료의 결정이 더욱 미세함을 알수 있었다.

#### Reference

1. Michael V. Swain, Ronald C. Garvie, and Richard H.J. Hannink, "Influence of thermal decomposition on the mechanical properties of magnesia-stabilized zirconia." *J. Am. Ceram. Soc.*, **66**(5) 358-362 (1983)
2. R.L. Coble, "Effects of particle-size distribution in initial stage sintering." *J. Am. Ceram. Soc.*, **56**(9) 461-466 (1973)
3. Rodney D. Bagley, Ivan B. Cutler, and D. Lynn Johnson, "Effect of TiO<sub>2</sub> on initial sintering of Al<sub>2</sub>O<sub>3</sub>." *J. Am. Ceram. Soc.*, **53**(3) 136-141 (1970)
4. Ivan B. Cutler and Roy E. Henrichsen, "Effect of particle shape on the kinetics of sintering of glass." *J. Am. Ceram. Soc.*, **51**(10) 604-605(J 1968)
5. Peter E.D. Morgan, "Synthesis of 6-nm ultrafine monoclinic zirconia." *J. Am. Ceram. Soc.*, **67**(10) C204-5(1984)
6. G.K. Bansal and A.H. Heuer, "Precipitation in partially stabilized zirconia." *J. Am. Ceram. Soc.*, **58**(5-6) 235-238(1975)
7. J.G.M. deLau, "Preparation of ceramic powders from sulfate solutions by spray drying and roasting." *Ceram. Bull.* **49**(6) 572-574(1970)
8. R.E. Jaeger and T.J. Miller, "Preparation of ceramic oxide powders by liquid drying." *Ceram. Bull.* **53**(12) 855-859(1974)
9. Eiji Tani, Masahiro Yoshimura, and Shigeyuki Somiya, "Hydrothermal preparation of ultrafine monoclinic ZrO<sub>2</sub> powder." *J. Am. Ceram. Soc.*, **64**(12) C-181(1981)
10. E. Tani, M. Yoshimura, and S. Somiya, "Formation of ultrafine tetragonal ZrO<sub>2</sub> powder under hydrothermal conditions." *J. Am. Ceram. Soc.*, **66**(1) 11-14(1983)
11. Davis, Burtron H., "Effects of pH on crystal phase of ZrO<sub>2</sub> precipitated from solution and calcined at 600°C." *J. Am. Ceram. Soc.*, **67**(8) C-168 (1984)